Serangan Second Preimage pada Skema Fungsi Hash Modifikasi Lin et al. Berbasis Algoritma SmallPresent[8]

Fadhillah Novita Kaloka¹⁾, Nadia Paramita Retno Adiati²⁾

- 1) Badan Siber dan Sandi Negara, fadhillah.novita@bssn.go.id
- 2) Politeknik Siber dan Sandi Negara, nadia@poltekssn.ac.id

Abstrak

Skema modifikasi Lin et al. merupakan skema Message Authentication Code (MAC) berbasis block cipher hasil modifikasi dari skema Lin et al. Perbedaan yang terdapat pada skema modifikasi Lin et al. dengan skema yang sebelumnya adalah adanya penambahan nilai salt, counter serta perubahan input pesan yang semula sepanjang n menjadi $w \ge 2n$. Serangan second preimage dapat dilakukan menggunakan beberapa metode, diantaranya metode Jia et al. dan metode Liu et al. Pada penelitian ini dilakukan serangan second preimage dengan menggunakan metode Jia et al. dan Liu et al. Pencarian pesan second preimage dengan metode Jia et al. dilakukan dengan membangkitkan modifikasi pesan sebanyak $2^{(n+1)/2}$ dan ditemukan pesan second preimage. Pada metode Liu et al. tidak didapatkan pesan second preimage karena pada serangan second preimage metode Liu et al. terdapat beberapa tahapan yaitu pencarian pesan fixed point, perluasan pesan serta pencarian pesan second preimage. Pada tahap pencarian pesan fixed point tidak ditemukan pesan yang memenuhi syarat sehingga tahap berikutnya tidak dapat dilakukan.

Kata kunci: MAC, Serangan second preimage Jia et al., Serangan second preimage Liu et al., Skema modifikasi Lin et al., SmallPresent[8]

Abstract

Lin et al. modification scheme is a Message Authentication Code (MAC) scheme based on a block cipher which is a modification of Lin et al. scheme. The differences found in the modified scheme of Lin et al. with the previous scheme are the addition of salt values, counters and changes to the message input which was originally along n to $w \ge 2n$. Second preimage attacks can be carried out using several methods including the method of Jia et al. and the method of Liu et al. In this research, a second preimage attack was carried out using the method of Jia et al. and Liu et al. The search for second preimage messages by the method of Jia et al. was done by generating modification messages as much as $2^{(n+1)/2}$ and found the second preimage message. In the Liu et al. method, second preimage message was not obtained because in the Liu et al. method of second preimage attack there were several stages, namely searching for fixed point messages, expanding messages and searching for second preimage messages. At the fixed point message search stage, no messages met the requirements so that the next stage could not be done.

Keywords: MAC, Modification scheme of Lin et al., Second preimage attack Jia et al., Second preimage attack Liu et al., SmallPresent[8]

1. PENDAHULUAN

Fungsi hash merupakan fungsi yang memetakan input dengan panjang sembarang ke suatu output dengan panjang yang tetap. Dua sifat yang harus dipenuhi oleh fungsi hash, yaitu kompresi dan mudah dihitung [1]. Suatu fungsi hash dikatakan aman jika memenuhi *preimage resistant*, second preimage resistant, dan collision resistant [2]. Fungsi hash terbagi menjadi dua jenis, yaitu Message Authentication Code (MAC) dan Manipulation Detection Codes (MDC). MAC merupakan fungsi hash dengan kunci, sedangkan MDC merupakan fungsi hash tanpa kunci [1].

MAC adalah fungsi hash satu arah dengan tambahan kunci rahasia [3]. Pembangunan algoritma MAC memiliki tiga cara. Pertama, konstruksi MAC berdasarkan algoritma *block cipher*, seperti *One key* CBC-MAC (OMAC). Kedua, konstruksi MAC berdasarkan fungsi hash kriptografi (HMAC). Ketiga, konstruksi MAC berdasarkan hash secara umum (*universal hashing*) [3].

Pada tahun 2009, Jia et al. melakukan penelitian serangan distinguishing dan serangan second preimage pada CBC-like MAC. Pada penelitian tersebut dijelaskan bahwa serangan second preimage merupakan salah satu serangan terhadap fungsi hash. Pada serangan ini, diketahui nilai pesan (M) dan nilai MAC (T) yang kemudian dapat dibuat pesan palsu (M') yang tidak sama dengan pesan (M) yang memenuhi $H_k(M') = T.$ Suatu fungsi hash dinyatakan second preimage resistance jika secara komputasi sulit untuk mendapatkan pesan palsu (M') yang memenuhi nilai $H_k(M') = T$ apabila diketahui pesan (M) dan $H_k(M') = T$ [3].

Pada tahun 2010, Liu et al. melakukan serangan multikolisi dengan metode Joux [4] dan serangan second preimage dengan teknik perluasan pesan Kelsey et al. [5] terhadap skema milik Lin et al. [6]. Serangan second preimage dengan menggunakan teknik perluasan pesan memiliki dua tahap dalam penerapannya. Tahap pertama pada serangan tersebut adalah mencari fixed point dan tahap kedua adalah melakukan perluasan pesan. Pada penelitian Liu et al.

diperoleh hasil bahwa skema Lin et al. rawan terhadap serangan kolisi, preimage dan second preimage [6]. Liu et al. melakukan modifikasi terhadap skema Lin et al. untuk menangani kerentanan tersebut. Modifikasi yang dilakukan, yaitu menambahkan counter dan salt serta mengubah input menjadi $w \ge 2n$

Serangan second preimage dengan metode Jia et al. [3] dan Liu et al. [6] memiliki perbedaan tahapan dalam penerapan masing-masing serangan sehingga memiliki kompleksitas yang berbeda. Serangan second preimage dengan menggunakan metode Jia et al. dilakukan dengan memodifikasi pesan pada blok pertama dan kedua, kemudian dicari nilai intermediate yang sama sehingga dapat ditemukan pesan palsu (M') yang tidak sama dengan pesan (M)dan memenuhi $H_k(M') = T$. Sementara serangan second preimage dengan metode Liu et al. dilakukan dengan mencari pesan fixed point, kemudian dilakukan perluasan pesan sehingga diperoleh pesan palsu (M') yang tidak sama dengan pesan (M) dan memenuhi $H_k(M') = T$.

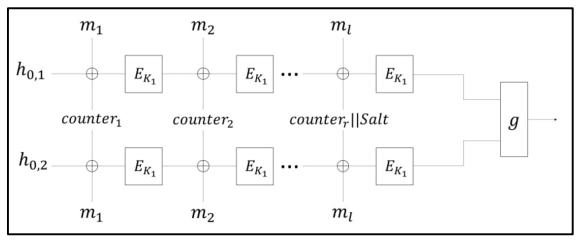
Pada penelitian ini dilakukan serangan second preimage pada skema fungsi hash modifikasi Lin et al. berbasis algoritma SmallPresent[8], dengan menerapkan serangan second preimage menggunakan metode Jia et al. dan metode Liu et al. Penelitian bertujuan untuk mengetahui ketahanan skema fungsi hash modifikasi Lin et al. berbasis algoritma SmallPresent[8] terhadap serangan second preimage.

2. LANDASAN TEORI

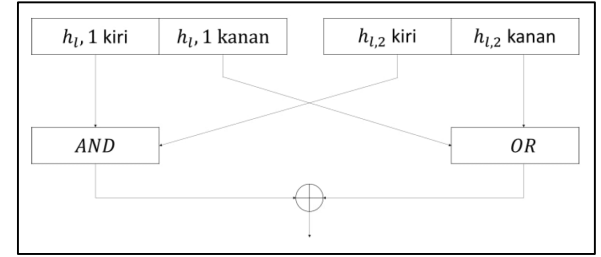
2.1 Skema Modifikasi Lin et al.

Pada tahun 2010 Liu et al. melakukan serangan terhadap skema Lin et al. dengan menerapkan serangan multikolisi yang mencakup serangan kolisi dan serangan second preimage, serta melakukan serangan second preimage dengan perluasan pesan. Hasil penelitian ini menunjukkan bahwa skema Lin et al. rentan terhadap serangan kolisi, preimage dan second preimage [6]. Liu et al. melakukan modifikasi terhadap skema Lin et al. dengan menambahkan counter dan salt serta mengubah panjang bit pada input blok pesan yang semula sepanjang n menjadi $m \geq 2n$. Perubahan panjang input pada skema modifikasi Lin et al. bertujuan untuk mencegah ditemukannya kolisi. Konstruksi skema modifikasi Lin et al. dapat dilihat pada Gambar 1.

Fungsi g pada skema modifikasi Lin et al. memiliki output sebesar n dengan panjang input pesan pada tiap bloknya sebesar $w \ge 2n$. Input fungsi g didapatkan dari hasil perhitungan output dari cabang B_1 dan B_2 . Nilai $h_{l,1}$ dan $h_{l,2}$ yang didapatkan kemudian dibagi menjadi dua subblok dan dioperasikan dengan fungsi AND dan XOR. Skema dari fungsi g dapat dilihat pada Gambar 2.



Gambar 1. Skema Modifikasi Lin *et al*. Sumber: telah diolah dari [6]



Gambar 2. Fungsi *g* pada Skema Modifikasi Lin *et al.*Sumber: telah diolah dari [7]

2.2 Algoritma SmallPresent[8]

Algoritma SmallPresent[m] merupakan modifikasi dari algoritma Present[8]. Ukuran blok SmallPresent[m] direduksi dari ukuran yang pada awalnya 64 bit menjadi 4m bit. SmallPresent[m] merupakan algoritma block cipher yang menggunakan S-box Present sebanyak m dan menggunakan permutasi bit sederhana. Penjadwalan kunci algoritma ini memproduksi 4m bit kunci round yang dihasilkan dari kunci master sepanjang 80 bit [9].

Algoritma SmallPresent[8] dioperasikan dalam tiga tahap yaitu add round key dengan melakukan XOR antara pesan dengan round key, S-box layer yaitu substitusi dengan menggunakan S-box Present, dan yang terakhir yaitu permutation layer untuk melakukan perpindahan posisi. Skema penjadwalan kunci pada algoritma SmallPresent[m] hampir sama dengan algoritma Present. Perbedaannya terletak pada pengambilan kunci pada setiap round. key Pengambilan round pada algoritma SmallPresent[m] diperoleh dari 4m bit paling kanan dari round key Present.

2.3 Permasalahan Hari Lahir

Terdapat empat kasus pada permasalahan hari lahir [10]. Permasalahan tersebut berkaitan dengan probabilitas. Probabilitas merupakan nilai yang menyatakan derajat ketidakpastian suatu kejadian pada suatu eksperimen. Asumsi probabilitas ideal suatu kejadian adalah lebih dari sama dengan setengah. Pada penelitian ini, digunakan permasalahan hari lahir keempat yaitu jika diketahui terdapat dua kelas dengan masing-masing kelas beranggotakan sebanyak k siswa, maka tentukan banyaknya jumlah siswa sehingga setidaknya seorang siswa pada kelas pertama memiliki hari lahir yang sama dengan siswa yang berada pada kelas kedua.

Jika diasumsikan terdapat dua himpunan dengan masing-masing himpunan memiliki nilai sebanyak k. Pada permasalahan ini akan ditentukan jumlah minimal k untuk mendapatkan setidaknya ada satu nilai yang sama pada dua himpunan yang berbeda, dengan probabilitas ideal lebih dari sama dengan setengah. Langkah untuk mencari probabilitas pada permasalahan hari lahir keempat adalah sebagai berikut:

- a. Probabilitas ditemukannya nilai yang berbeda antara sampel pertama pada himpunan pertama dengan himpunan kedua adalah $Q_1 = \left(1 \frac{1}{N}\right)^k$.
- Probabilitas bahwa semua sampel pada himpunan pertama memiliki nilai yang berbeda dengan himpunan kedua adalah

$$Q = \left(\left(1 - \frac{1}{N}\right)^{k}\right)^{k}, \text{ maka } Q = \left(1 - \frac{1}{N}\right)^{k^{2}}.$$

c. Probabilitas ditemukan setidaknya terdapat satu nilai yang sama antara dua himpunan yaitu

$$P = 1 - Q = 1 - \left(1 - \frac{1}{N}\right)^{k^2}.$$

Jumlah minimal k dapat dihitung menggunakan persamaan $k = \sqrt{ln\frac{1}{1-p} \times N}$. Apabila $P \ge 1/2$, maka jumlah minimal k dapat dihitung menggunakan persamaan $k = 0.83 \times \sqrt{N}$.

2.4 Serangan Second Preimage Metode Jia et al.

Serangan second preimage merupakan salah satu serangan terhadap fungsi hash. Pada serangan ini, penyerang memperoleh pesan (M) dan nilai MAC (T) yang memenuhi H_k (M) = T. Kemudian, penyerang dapat membuat pesan palsu (M') dengan $M' \neq M$ yang memenuhi H_k (M') = T [3]. Suatu fungsi hash dikatakan second preimage resistance jika secara komputasi sulit menemukan pesan palsu (M') yang memenuhi nilai H_k (M') = T. Langkahlangkah penerapan serangan second preimage dijelaskan sebagai berikut:

- a. Asumsikan penyerang memiliki nilai *hash* dari pesan (M), yaitu $H_k(M) = T$ dengan $M = m_1 \parallel m_2 \parallel \cdots \parallel m_l$.
- b. Modifikasi pesan m_1 dan m_2 sebanyak $2^{(n+1)/2}$ untuk membangkitkan himpunan S_1 dan S_2 , dengan $S_1 = \{m_1 \parallel m_2^i \parallel \cdots \parallel m_l\}$, dan $S_2 = \{m_1^j \parallel m_2 \parallel \cdots \parallel m_l\}$, dengan $m_2^i \neq m_2$ dan $m_1^j \neq m_1$.
- c. Hitung nilai MAC dari himpunan S_1 dan S_2 , yaitu $T_1^i = H_k(S_1^i)$ dan $T_2^j = H_k(S_2^j)$.
- d. Pesan palsu dapat ditemukan jika terdapat $T_i = T_j$ sehingga pesan palsu $M' = \{m_1^j \parallel m_2^i \parallel \cdots \parallel m_l\}$ memiliki nilai MAC yang sama dengan nilai MAC dari pesan (M).

2.5 Serangan Second Preimage Metode Liu et al.

Teknik perluasan pesan merupakan serangan yang diusulkan oleh Kelsey dan Schneier [5].

Serangan ini memanfaatkan penambahan blok pesan untuk mendapatkan nilai hash yang sama. Teknik ini lebih efisien digunakan jika sudah diperoleh pesan *fixed point*.

Pada tahun 2010, Liu et al. melakukan serangan terhadap skema Lin et al. menggunakan serangan second preimage dengan perluasan pesan. Terdapat dua tahap dalam melakukan serangan second preimage dengan metode Liu et al., yaitu teknik pencarian pesan fixed point dan teknik perluasan pesan secara umum. Teknik pencarian pesan fixed point dilakukan pada fungsi kompresi f dengan mencari pasangan IV dan pesan yang memenuhi H_k = f(h, M). Penggunaan fixed point dapat memperluas pesan ke sembarang panjang blok tanpa mengubah nilai $H_k(M)$ [6]. Proses ini memiliki tujuan untuk memperbanyak kemungkinan pesan menghasilkan nilai intermediate yang sama [6]. Langkah-langkah penerapan serangan preimage dengan metode Liu et al. adalah sebagai berikut [6]:

- a. Mencari pesan fixed point
 - 1) Temukan $2^{n/2}$ pasang $(h_{l,1}, m)$ dengan $h_{l,1} = f(h_{l,1}, m)$ menggunakan algoritma *fixed point*, kemudian simpan nilai yang didapatkan pada *List A* = $(h_{0,1}, m)$.
 - 2) Hitung $h'_{l,1} = f(h_{0,1}, m')$ sebanyak $2^{n/2}$ perhitungan. Simpan hasil perhitungan pada *List* $B = (h_{0,1}, m')$.
 - 3) Temukan nilai yang sama antara $List\ B$ dan $List\ A$ yaitu ketika terdapat nilai yang memenuhi $h_{l,1}=h'_{l,1}$.
 - 4) Simpan pesan $(m' \parallel m)$.
- b. Proses perluasan pesan
 - 1) Hitung $h = f(h_{0,1}, q)$ sebanyak r 1 perhitungan.
 - 2) Hitung $h'_{l,1} = f(h_{0,1}, m')$ sebanyak $2^{n/2}$ perhitungan. Simpan hasil perhitungan pada $ListA = (h_{0,1}, m')$.
 - 3) Hitung sebanyak $2^{n/2}$ pasang (h', m') dengan $h' = f(h_{tmp}, m')$. Simpan hasil perhitungan pada ListB = (h', m').
 - 4) Temukan nilai yang sama antara *List B* dan *List A* sedemikian hingga diperoleh nilai yang menghasilkan $h_{0,1} = h'_{l,1}$. Dapat diperoleh pesan yang berkolisi yaitu $(m', q \parallel q \parallel \cdots \parallel m)$.
- c. Proses serangan second preimage
 - 1) Gunakan data yang diperoleh pada proses pencarian *fixed point* yaitu $(m \parallel m')$. Notasikan hasil yang diperoleh tersebut dengan $M_{test} = (m \parallel m')$.
 - Gunakan data yang diperoleh dari proses perluasan pesan yaitu (m', q || q || ··· || m). Notasikan dengan M* dan nilai intermediate dari pesan tersebut dinotasikan sebagai h*, dengan h* = f(h_{0,1}, M*).
 - 3) Temukan M_{link} dengan $h_{i,1} = f(h^*, M_{link})$.

- 4) Untuk j, $0 \le j \le 2^r 1$.
 - (a) Output second preimage yang diperoleh

Pada langkah terakhir diperoleh 2^n pesan palsu pada cabang pertama. Jika ditemukan paling tidak satu pesan palsu pada cabang kedua, maka ditemukan pesan palsu (M') yang memenuhi $H_k(M) = H_k(M')$.

METODE PENELITIAN

Serangan second preimage dengan metode Jia et al. pada skema modifikasi Lin et al. menggunakan sebanyak 16 sampel pesan untuk mencari pesan palsu yang ditunjukkan pada Tabel 1.

Tabel 1. Sampel Pesan pada Skema Modifikasi Lin et al.

Sampel	m_1	m_2	T
1	0x4444444	0x88888888	0x4468
2	0xeeeeeee	0xbbbbbbbb	0xc163
3	0x92929292	0xd2d2d2d2	0x4d85
4	0x10101010	0x65656565	0xce7f
5	0x4444444	0x43756347	0x46e2
6	0xeeeeeee	0xbaca6495	0xde6e
7	0x92929292	0x76cab473	0x5afd
8	0x10101010	0x6bc902ef	0x1e98
9	0xba6643bc	0x88888888	0x52ca
10	0xffe7349b	0xbbbbbbbb	0x2252
11	0x915ceab4	0xd2d2d2d2	0x5ea2
12	0xe9aba955	0x65656565	0x92cf
13	0x675cba73	0xef459075	0x4204
14	0x3253cabf	0xa90c64ba	0xec87
15	0x24789551	0x4567bcdd	0x5740
16	0xbe435caf	0xee3435ca	0xaec4

Tahapan serangan second preimage dengan metode Jia et al. sebagai berikut:

- Bangkitkan 217 pesan palsu pada blok kedua sehingga $S_1 = \{m_1 \parallel m_2^i \parallel \cdots \parallel m_l\}$ dengan 0 < $i < 2^{17}$. Kemudian hitung $H_K(S_1^i) = T_1^i$.
- b. Bangkitkan 2¹⁷ pesan palsu pada blok pertama sehingga $S_2 = \{m_1^J \parallel m_2 \parallel \cdots \parallel m_l\}$ dengan 0 < $j < 2^{17}$ kemudian hitung $H_k(S_2^j) = T_2^j$.
- Bandingkan nilai T_1^i dengan T_2^j . Jika diperoleh nilai yang memenuhi $T_1^i = T_2^j$, maka simpan nilai m_1^j dan m_2^i . Konstruksi $M' = \{m_1^j \parallel m_2^i \parallel \cdots \parallel$ m_l } kemudian hitung $H_k(M') = T'$. Pesan palsu diperoleh apabila terdapat nilai T' = T dengan $M' \neq M$.

Serangan second preimage dengan metode Liu et al. dilakukan pada fungsi kompresi f. Pada skema fungsi hash modifikasi Lin et al. terdapat dua cabang pada fungsi kompresi yang digunakan, yaitu cabang atas (B_1) dan (B_2) . Pesan dibagi ke dalam beberapa blok dengan $h_{0,1}$ merupakan IV pada cabang B_1 dan $h_{0,2}$ pada cabang B_2 . Proses serangan dilakukan pada cabang B_1 terlebih dahulu untuk mencari seluruh kemungkinan pesan palsu yang menghasilkan nilai intermediate hash yang sama pada cabang B_1 . Kemudian jika hasil sudah didapatkan maka

dilanjutkan dengan proses pencarian pesan palsu pada cabang B_2 . Pesan second preimage ditemukan jika pada cabang B_2 juga diperoleh nilai intermediate yang sama dengan input yang berbeda.

Fungsi kompresi yang digunakan adalah algoritma SmallPresent[8], yang mengoperasikan input sebanyak 32 bit pada tiap blok. Nilai counter berupa iterasi dengan panjang 32 bit dan pada blok pesan terakhir nilai counter sepanjang 16 bit digabung dengan nilai salt sepanjang 16 bit. Nilai counter dan nilai salt yang digunakan adalah sebagai berikut:

- $counter_1 = 0x00000001,$ $counter_2 = 0x0002,$
- b.
- Salt = 0x29d1.

Kunci master yang digunakan pada algoritma SmallPresent[8] adalah K_1 dan K_2 sepanjang 80 bit. Nilai kunci master yang digunakan adalah

- $K_1 = 0x796de379adf824c90178$
- $K_2 = 0x53bc06ad8ebc90a24172.$

Berikut adalah tahapan serangan preimage dengan metode Liu et al.:

- Proses fixed point
 - 1) Temukan 2^{16} pasang $(h_{l,1}, m)$ dengan $h_{l,1} = f(h_{l,1}, m)$ menggunakan algoritma fixed point. Simpan pasangan yang ditemukan pada *List A* = $(h_{0,1}, M)$.
 - Hitung sebanyak $2^{n/2}$ perhitungan $h'_{l,1}$ = $f(h_{0,1}, m')$. Simpan hasil perhitungan pada List $B = (h_{0,1}, m')$.
 - 3) Bandingkan nilai pada List B dan List A sedemikian hingga $h_{l,1} = f(h_{l,1}, m)$ yang memiliki nilai yang sama dengan $h'_{l,1}$ = $f(h_{0,1},m').$
 - Apabila ditemukan nilai $h_{0,1} = h'_{l,1}$ yang sama antara ListA dan ListB, maka simpan pesan $(m' \parallel m)$ yang bersesuaian.
- Proses perluasan pesan
 - 1) Hitung sebanyak r-1 perhitungan h= $f(h_{0.1}, q)$.
 - 2) Hitung $h'_{l,1} = f(h_{0,1}, m')$ sebanyak 2^{16} perhitungan. Simpan hasil perhitungan pada $ListA = (h_{0.1}, m').$
 - Hitung sebanyak 2^{16} pasang (h', m') $h' = f(h_{tmp}, m')$. Kemudian simpan hasil perhitungan pada ListB = (h', m').
 - Temukan nilai yang sama antara List B dan yang memenuhi $h_{0,1} = h'_{l,1}$. Sehingga diperoleh pesan yang berkolisi yaitu $(m', q \parallel q \parallel \cdots \parallel m)$.
- Proses pencarian pesan second preimage
 - Pencarian pesan palsu dilakukan dengan menggunakan data yang diperoleh pada pencarian pesan fixed point. Notasikan $M_{test} = (M' \parallel M)$ dan nilai intermediate dari pesan tersebut dinotasikan sebagai h_{test}

- dengan $h_{test} = f(h_{0,1}, M_{test})$.
- Gunakan hasil yang diperoleh dari proses perluasan pesan yang dinotasikan dengan M* dan nilai intermediate dari pesan tersebut dinotasikan sebagai h^* dengan $h^* =$ $f(h_{0,1}, M^*).$
- 3) Cari input pesan M_{link} sedemikian hingga $h_{i,1} = f(h^*, M_{link}).$
- Untuk j, $0 \le j \le 2^r 1$.
- Output second preimage yang diperoleh adalah $M = M_{test} \parallel M^* \parallel M_{link} \parallel M_{i+1} \parallel$ $M_{i+2} \parallel \cdots \parallel M_{2^{r}+r+1}.$ 6) $M_{test} = M_{test} \parallel M'.$

Pada langkah terakhir diperoleh pesan palsu pada cabang pertama. Jika paling tidak terdapat satu pesan palsu pada cabang kedua, maka ditemukan pesan palsu (M') yang memenuhi $H_k(M) = H_k(M')$.

4. HASIL DAN PEMBAHASAN

4.1 Hasil Serangan Second Preimage Metode Jia et al.

Serangan ini dilakukan dengan pembangkitan pesan secara acak. Berikut merupakan tahapan yang dilakukan dan hasil yang didapatkan untuk mencari pesan palsu.

- Pembangkitan input pesan m'_2 sebanyak $2^{(n+1)/2}$ Pada tahap ini dilakukan pembangkitan pesan palsu pada blok kedua sebanyak 2¹⁷ pesan atau lebih tepatnya 131.072 pesan palsu. Hitung nilai hash yang diperoleh, kemudian simpan sebagai T_1 .
- b. Pembangkitan input pesan m'_1 sebanyak $2^{(n+1)/2}$ Pada tahap ini dilakukan pembangkitan pesan palsu pada blok pertama sebanyak 2¹⁷ pesan atau lebih tepatnya 131.072 pesan palsu. Hitung nilai hash yang diperoleh.
- Membandingkan nilai *intermediate* T_1 dan T_2 . Pada tahap ini ditunjukkan apakah terdapat nilai intermediate T_1 dan T_2 dengan nilai yang sama. Jika diperoleh nilai intermediate yang sama, maka langkah yang selanjutnya dilakukan yaitu dengan melakukan konstruksi pesan baru M' = $M[1]^{j} \parallel M[2]^{i} \parallel \cdots \parallel M[l]$. Apabila didapatkan nilai yang memenuhi, maka langkah berhenti dan tidak diperoleh pesan yang bersifat second preimage. Setelah diperoleh pesan M' kemudian hitung nilai hash dari pesan M'. Iika diperoleh nilai hash dari pesan M' yang sama dengan nilai T, maka pesan palsu ditemukan.

Secara ringkas, untuk mencari second preimage dengan metode Jia et al. diperlukan empat langkah sebagaimana yang ditunjukkan pada Algoritma 1. Algoritma 1 menghasilkan *output* yaitu pesan M' = $(m'_1 \parallel m'_2)$ yang memiliki nilai T' = T. Pesan palsu didapatkan ketika ditemukan pesan yang memiliki nilai MAC yang sama pada pesan asli. Kolisi tersebut menyebabkan nilai MAC pesan palsu sama dengan nilai MAC pesan asli. Pesan palsu tersebut yang dinamakan dengan second preimage. Pesan palsu yang ditemukan pada suatu pesan asli memungkinkan berjumlah lebih dari satu buah. Hasil second preimage yang diperoleh ditunjukkan pada Tabel 2.

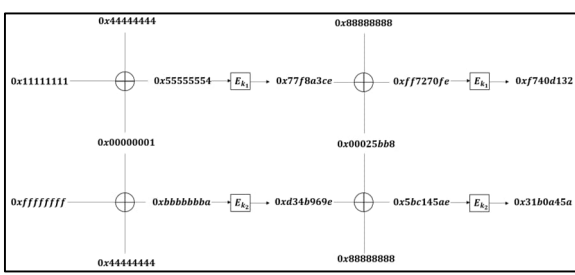
Algoritma 1. Serangan Second Preimage metode Jia et al.

: nilai MAC $T = H_K(M)$ dengan M =**INPUT** $(m_1 \parallel m_2)$

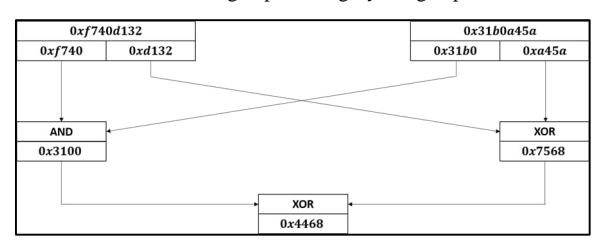
OUTPUT : $M' = (m'_1 \parallel m'_2) \operatorname{dengan} H_K(M') = T$ Untuk i = 0 sampai dengan $2^{n+1/2} - 1$ lakukan

- 1. Modifikasi pesan m_2 kemudian hitung nilai MAC $H_K(m_1 \parallel m_2') = T_1$.
- Modifikasi pesan m_1 kemudian hitung nilai MAC $H_K(m'_1 \parallel m_2) = T_2$.
- Bandingkan nilai T_1 dan T_2 .
- Jika ditemukan nilai yang sama, maka konstruksi pesan $M' = (m'_1 \parallel m'_2)$ dan hitung nilai MAC $H_K(M') = T'$.
- 5. Bandingkan nilai T' dan T.
- Jika ditemukan nilai yang sama, maka didapatkan pesan palsu $M' = (m'_1 \parallel m'_2)$.

Tahapan pencarian pesan palsu yang dilakukan dapat diinterpretasikan seperti yang ditunjukkan pada Gambar 3 sampai dengan Gambar 10. Contoh perhitungan pada fungsi f dengan menggunakan pesan asli ditunjukkan pada Gambar 3, serta contoh perhitungan pada fungsi g dengan menggunakan output fungsi f dengan input pesan asli ditunjukkan pada Gambar 4.



Gambar 3. Perhitungan pada fungsi f dengan pesan asli



Gambar 4. Perhitungan pada fungsi *g* dengan pesan asli

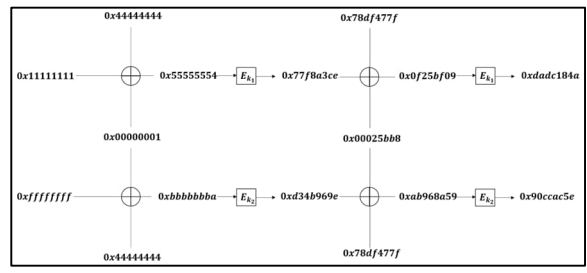
Contoh perhitungan pada fungsi f dengan modifikasi pesan pada blok kedua ditunjukkan pada Gambar 5, serta contoh perhitungan pada fungsi gdengan menggunakan output fungsi f dengan input modifikasi pesan pada blok kedua ditunjukkan pada Gambar 6.

Contoh perhitungan pada fungsi f dengan modifikasi pesan pada blok pertama ditunjukkan pada Gambar 7, serta contoh perhitungan pada fungsi g dengan menggunakan output fungsi f dengan input modifikasi pesan pada blok kedua ditunjukkan pada Gambar 8.

Contoh perhitungan pada fungsi f dengan

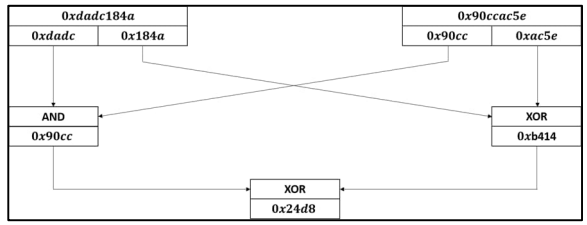
menggunakan pesan palsu ditunjukkan pada Gambar 9, serta contoh perhitungan pada fungsi g dengan menggunakan output fungsi f dengan input pesan palsu ditunjukkan pada Gambar 10.

No	m_1	$m_1{}'$	m_2	$m_2{}'$	$T_1 = T_2$
1 0x4444444		0x5ea4443e	0x88888888	0x78df477f	0x24d8
	•	0x0e7e01cf	•	0x5dca4368	0xb055
	•	0x2afb09bc	-	0x21ed2fc4	0x79f6
	•	0x07123297	-	0x1bc85da8	0x6695
2 0	0xeeeeeee	0x1efa228a	0xbbbbbbbb	0x3d4a5fb4	0xc95e
	•	0x1bfb58c2	-	0x367a5a53	0x6ca1
	•	0x494d1382	-	0x1a14279f	0xde1e
	•	0x1ac53ab0	•	0x57c43136	0x56e4
	•	0x6737563a	•	0x76fb40ac	0xaff0
	•	0x278179a3	-	0x32247621	0x47fd
3	0x92929292	0x4b1d71f1	0xd2d2d2d2	0x20a173d4	0xb0bc
	•	0x75d860c6	-	0x68e4531f	0x55d6
	•	0x5bfa009c	-	0x3d365262	0x296a
	•	0x5c6865bb	•	0x07ad1437	0xb510
	•	0x1c6e3660	-	0x46163819	0xb9a0
	•	0x72676c98		0x13b97221	0xf8fa
4 0x1	0x10101010	0xo8a84d12	0x65656565	0x07064470	0x447f
	•	0x668805f1		0x2db10630	0x90b7
	•	0x5e1907c3	-	0x0a692cdb	0x60bc
	•	0x4b667cee	-	0x0cc315a1	0xea9b
5	0x4444444	0x10ee34a5	0x43756347	0x17723919	0x8fdc
		0x43587c2b		0x0d527b49	0x2ef4
	•	0x3a051195	-	0xd527b49	0x524c
:	i	:	:	i	:
14	0x3253cabf	0x66cd09a2	0xa90c64ba	0x02225910	0x35dd
	•	0x7d3f5a4a	-	0x5cf524fe	0x2037
		0x1da459c5		0x37d04a87	0xbc4f
15	0x47895051	0x72636fde	0x4567bcdd	0x04e62a1b	0x97fe
	•	0x677d4300	•	0x43a837f0	0x78e9
	•	0x46567467	-	0x111b1c00	0x9d1d
	•	0x46567467	•	0x192b4569	0xf3b9
16	0xbe435caf	0x5503753e	0xee3435ca	0x23921dfb	0x8c15
	•	0x07f034e3	-	0x239b1cc2	0xb475
	•	0x61b5429c	•	0x3a2e6f05	0x082b
	•	0x07fa6a2e	-	0x30601085	0x6f27

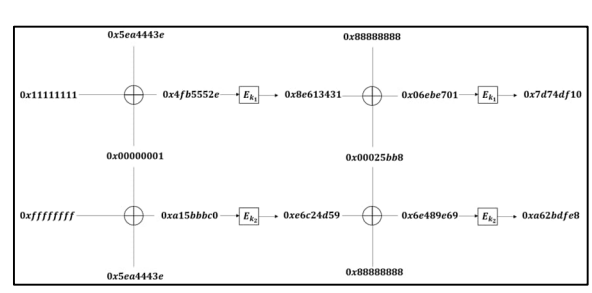


0x4a5c404f

Gambar 5. Perhitungan pada Fungsi \overline{f} dengan Modifikasi Blok Pesan Kedua



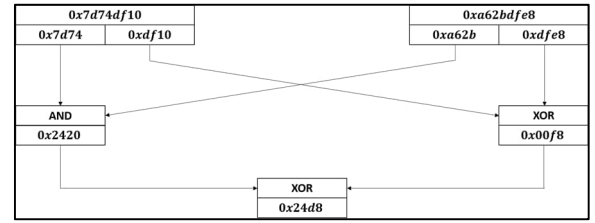
Gambar 6. Perhitungan pada Fungsi \boldsymbol{g} dengan Modifikasi Blok Pesan Kedua



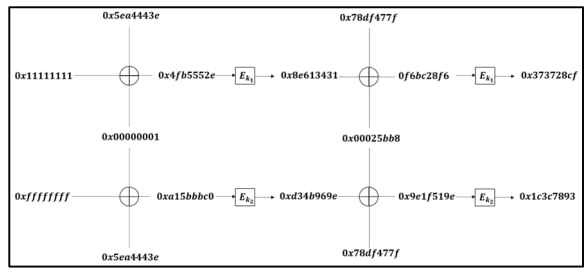
0x6a077256

0x598f

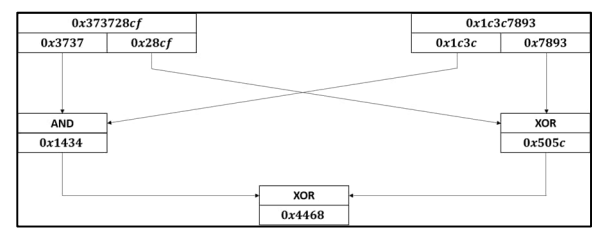
Gambar 7. Perhitungan pada Fungsi **f** dengan Modifikasi Blok Pesan Pertama



Gambar 8. Perhitungan pada fungsi \boldsymbol{g} dengan Modifikasi Blok Pesan Pertama



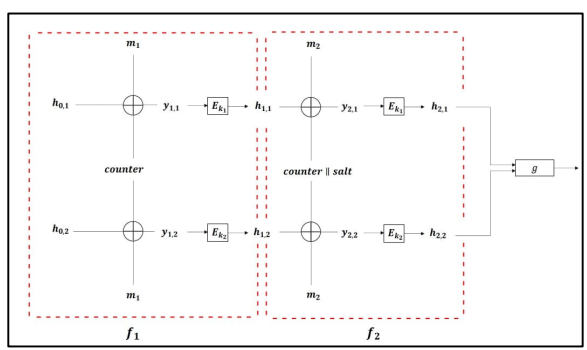
Gambar 9. Perhitungan pada Fungsi f dengan Pesan Palsu



Gambar 10. Perhitungan pada Fungsi g dengan Pesan Palsu

4.2 Analisis Serangan Second Preimage Metode Jia et al.

Skema fungsi hash modifikasi Lin et al. menggunakan pesan yang terdiri dari dua blok sehingga $M = m_1 \parallel m_2$. Penerapan serangan second preimage dengan metode Jia et al. pada skema fungsi hash modifikasi Lin et al. didasarkan pada pemanfaatan karakteristik operasi \oplus yaitu ketika $a \oplus b = c \oplus d$ maka $c \oplus b = a \oplus d$ dengan a, b, c, dan d merupakan suatu variabel. Pada skema modifikasi Lin et al., karakteristik tersebut dapat dituliskan yaitu sebagai suatu kondisi ketika $f_1(m_1) \oplus f_2(m_2') = f(m_1') \oplus f_2(m_2)$ terpenuhi maka $f_1(m_1) \oplus f_2(m_2) = f_1(m_1) \oplus f_2(m_2)$ akan terpenuhi. Fungsi f_1 dan f_2 yang dimaksud ditunjukkan pada Gambar 11.



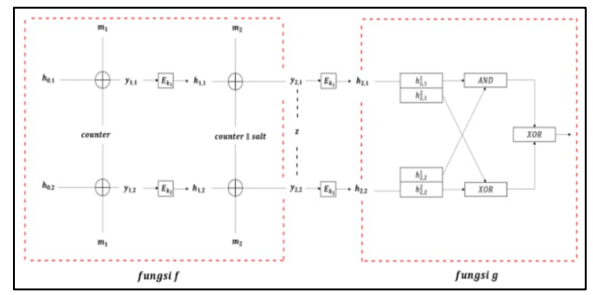
Gambar 11. Fungsi f_1 dan fungsi f_2

Berdasarkan metode Jia *et al.*, pesan palsu berhasil ditemukan apabila langkah-langkah serangan terpenuhi. Langkah-langkah serangan pada skema fungsi *hash* modifikasi Lin *et al.* dideskripsikan sebagai berikut:

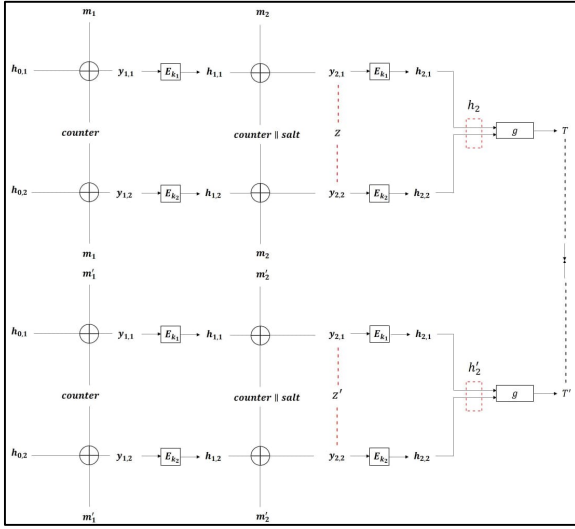
Misalkan serangan second preimage dengan metode Jia et al. dilakukan terhadap skema fungsi hash modifikasi Lin et al. yang terdiri dari dua buah blok input pesan. Diketahui sebarang pesan $M = m_1 \parallel m_2 \operatorname{dan} f(m_1, m_2) = f(m_1) \oplus f(m_2) \operatorname{dengan} f$ merupakan fungsi permutasi sebagaimana

ditunjukkan pada Gambar 12. Jika $f(m_1, m_2') = f(m_1', m_2)$ terpenuhi maka $f(m_1', m_2') = f(m_1, m_2)$ akan terpenuhi dan jika $f(m_1', m_2') = f(m_1, m_2)$ maka $H(m_1 \parallel m_2) = H(m_1' \parallel m_2')$.

Pada langkah-langkah serangan, jika $f(m_1,m_2')=f(m_1',m_2)$, maka seharusnya terdapat kolisi pada z=z' yang kemudian dapat menghasilkan $H(m_1 \parallel m_2)=H(m_1' \parallel m_2')$ seperti ditunjukkan pada Gambar 13.



Gambar 12. Fungsi f dan Fungsi g



Gambar 13. Skenario Serangan Second Preimage Metode Jia et al.

Pada skema fungsi hash modifikasi Lin *et al.* kondisi sebagaimana pada langkah-langkah yang telah dideskripsikan tidak dapat terpenuhi untuk semua pesan palsu yang ditemukan. Proses pencarian pesan palsu pada skema fungsi hash modifikasi Lin *et al.* secara rinci dapat dilihat pada Gambar 3 sampai dengan Gambar 10.

Pesan hasil modifikasi pada Gambar 5 dan Gambar 7 menunjukkan bahwa tidak terjadi kolisi $z_i=z_j$ pada pesan $M_i=m_1\parallel m_2^i$ dengan $M_j=m_2^j\parallel m_2$, namun pesan M_i dan M_j dapat direkonstruksi menjadi pesan $M'=m_1'\parallel m_2'$ yang menghasilkan nilai hash yang sama dengan pesan $M=m_1\parallel m_2$. Kondisi tersebut kontradiksi dengan strategi serangan second preimage dengan metode Jia et al. sebagaimana yang dijabarkan pada Gambar 5 dan Gambar 7, menunjukkan bahwa dengan nilai input yang berbeda pada fungsi g antara perhitungan nilai hash g dan g dapat menghasilkan g output g dan g yang sama. Hal ini menunjukkan bahwa strategi

serangan *second preimage* dengan metode Jia *et al.* tidak dapat diterapkan pada skema fungsi hash modifikasi Lin *et al.*

Second preimage pada skema fungsi hash modifikasi Lin et al. dapat ditemukan dikarenakan adanya karakteristik operasi \oplus pada fungsi g yang dapat dimanfaatkan untuk mencari kolisi. Berdasarkan Gambar 12, karakteristik operasi \oplus yang digunakan pada fungsi g untuk melakukan penerapan serangan second preimage metode Jia et al. adalah dengan mencari input $h'_{2,1}$ dan $h'_{2,2}$ yang menghasilkan output fungsi g yang sama dengan input $h_{2,1}$ dan $h_{2,2}$.

Misalnya terdapat *output y* yang merupakan hasil operasi \oplus dari dua input berbeda, yaitu: x dan x', dengan $x \neq x'$, dan ukuran n-bit, maka akan terdapat 2n kemungkinan pasangan input x dan x', dengan $x \neq x'$ yang memiliki nilai y yang sama. Misalnya pada sebuah operasi \oplus diketahui nilai *output* dengan ukuran 4-bit, y = 0001, maka kemungkinan nilai input x dan x' yang digunakan ditunjukkan pada Tabel 3

Tabel 3. Kemungkinan input operasi XOR dengan output 001

No	x	<i>x</i> *	$y = x \oplus x^*$
1	000	001	001
2	001	000	001
3	010	011	001
4	011	010	001
5	101	100	001
6	100	101	001
7	110	111	001
8	111	110	001

Tabel 3 menunjukkan bahwa nilai *output* dengan ukuran 4-bit memiliki 24 kemungkinan pasangan input yang menghasilkan nilai ⊕ yang sama. Hal tersebut yang menyebabkan terdapat pesan palsu yang memiliki nilai hash yang sama dengan nilai hash pesan asli.

Pencarian pesan second preimage pada skema modifikasi Lin et al. dilakukan dengan 16 sampel IV dan pesan dengan input berpola dan pseudorandom. Syarat ditemukannya pesan second preimage adalah terdapat pesan M' yang dapat direkonstruksi dengan melakukan modifikasi pada blok pesan pertama dan kedua, serta memenuhi $H_k(M') = H_k(M)$. Proses pencarian pesan second preimage dengan metode Jia et al. merujuk pada permasalahan hari lahir keempat, yaitu dengan mencari dua nilai yang sama pada dua himpunan yang berbeda.

Berdasarkan hasil yang didapatkan, input IV dan pesan, baik berpola maupun pseudorandom yang digunakan, tidak mempengaruhi jumlah pesan palsu yang didapatkan. Probabilitas sukses serangan second preimage dengan metode Jia et al. bergantung pada probabilitas ditemukannya nilai yang sama pada himpunan T_1 dan T_2 .

Himpunan T_1 berisi 2^{17} nilai T dengan modifikasi pada blok pesan kedua. Himpunan T_2 berisi 2^{17} nilai T dengan modifikasi pada blok pesan pertama. Setiap

nilai pada himpunan T_1 dibandingkan dengan nilai pada himpunan T_2 . Apabila ditemukan nilai yang sama antara kedua himpunan tersebut, maka pesan m_1' dan m_2' yang bersesuaian digunakan untuk mengganti blok m_1 dan m_2 , kemudian dihitung nilai T'. Apabila terdapat nilai yang sama antara nilai T dan T' maka m_1' dan m_2' yang digunakan disebut pesan palsu dengan nilai MAC yang sama dengan nilai MAC dari pesan asli.

Berdasarkan konsep permasalahan hari lahir keempat, probabilitas ditemukannya pesan palsu yaitu P=1/N. Probabilitas ditemukannya nilai MAC pertama pada himpunan T_1 yang memiliki nilai sama dengan nilai MAC pertama pada himpunan T_2 yaitu $P=\frac{1}{2^{32}}$. Q adalah probabilitas nilai MAC pertama pada himpunan T_1 yang memiliki nilai yang berbeda dengan nilai MAC pertama pada himpunan T_2 yaitu $Q=1-P=1-\frac{1}{2^{32}}$.

Probabilitas nilai MAC pertama pada himpunan T_1 berbeda dengan seluruh nilai MAC pada himpunan T_2 yaitu

$$Q = \left(1 - \frac{1}{2^{32}}\right)^{17}. (1)$$

Persamaan (1) dioperasikan dengan pendekatan Taylor (1 – $x = e^{-x}$) menjadi $Q = \left(e^{-\frac{1}{2^{32}}}\right)^{17}$. Nilai Q juga berlaku untuk nilai MAC kedua,

Nilai Q juga berlaku untuk nilai MAC kedua, ketiga hingga nilai MAC ke- 2^{16} . Probabilitas seluruh nilai pada himpunan T_1 memiliki nilai yang berbeda dengan nilai pada himpunan T_2 yaitu Q=0.018. Probabilitas ditemukannya paling tidak terdapat satu nilai pada himpunan T_1 yang memiliki nilai yang sama dengan nilai pada himpunan T_2 yaitu P=1-Q=0.982.

Berdasarkan probabilitas yang didapatkan, pada percobaan dengan menggunakan 16 sampel, maka setidaknya terdapat 16 pesan palsu yang ditemukan. Berdasarkan hasil yang diperoleh pada Tabel 2, pada masing-masing sampel terdapat pesan palsu yang ditemukan. Hasil tersebut menunjukkan bahwa pada 16 sampel pesan dengan modifikasi pesan sebanyak 2^{17} pada m_1' dan m_2' dengan peluang didapatkannya pesan yang sama antara T_1 dan T_2 yaitu sebesar 0,982, seharusnya paling tidak terdapat 15,712 \approx 16 pesan palsu yang didapatkan.

Serangan second preimage dengan menggunakan metode Jia et al. memiliki kompleksitas waktu sebesar $(O^{n+3/2})$. Kompleksitas tersebut didapatkan berdasarkan input serta jumlah proses yang dilakukan dalam melakukan serangan. Pada langkah modifikasi pesan m_2 dibutuhkan komputasi sebesar $2^{n+1/2}$. Secara garis besar, serangan second preimage metode Jia et al. memiliki empat proses untuk menemukan pesan palsu. Kompleksitas waktu yang diperoleh dinotasikan secara formal dengan notasi Big-O dengan cara menghilangkan faktor koefisien pada persamaan T(N). Oleh karena $T(N) = 2^{n+3/2} + 2$,

maka kompleksitas waktu serangan second preimage yang dilakukan adalah $O(2^{n+3/2})$. Berdasarkan Algoritma 1, serangan second preimage dengan metode Jia et al. pada penelitian ini dilakukan dengan kompleksitas sebesar $2 \times 2^{17} + 2 = 2^{18}$.

4.3 Hasil Serangan Second Preimage Metode Liu et al.

Tahapan pertama pada serangan *second preimage* metode Liu *et al.* yaitu proses pencarian *fixed point* yang dilakukan terlebih dahulu pada cabang pertama. Berikut tahapan yang dilakukan:

a. Melakukan pencarian pasangan $(h_{0,1}, m)$ sebanyak 2^{16} .

Pada tahap ini dilakukan pencarian pasangan $h_{i,1}$ dan pesan m yang memenuhi $h_{i,1} = f(h_{i,1}, m)$. Pencarian pasangan $(h_{i,1}, m)$ dilakukan dengan 63 percobaan dengan rincian jumlah $h_{i,1}$, m dan $h_{i,1} = f(h_{i,1}, m)$ yang dapat disimpan pada ListA dijelaskan pada Tabel 4. Pencarian dilakukan dengan membangkitkan himpunan IV dan m, kemudian masing-masing $h_{0,1}$ dan dipasangkan pada semua pesan m, sehingga didapatkan pasangan $(h_{0,1}, m)$, kemudian hitung $f(h_{0,1}, m)$. Apabila ditemukan pasangan yang memenuhi $h_{0,1} = f(h_{0,1}, m)$, maka $(h_{0,1}, m)$ disimpan kedalam ListA. Terdapat 133 pasang IV dan pesan yang disimpan pada ListA, nilai tersebut ListA ditunjukkan pada Tabel 5.

Tabel 4. Jumlah $h_{i,1}$, m dan $h_{i,1} = f(h_{i,1}, m)$ yang digunakan

Percobaan ke-	$h_{i,1}$	m	Total pasangan $(h_{i,1}, m)$	$h_{i,1} = f(h_{i,1}, m)$ yang disimpan
1 – 13	2^{16}	2^{16}	2 ³²	11
14 - 25	2 ¹⁷	2^{16}	2 ³³	16
26 - 36	218	2^{16}	2 ³⁴	20
37 - 50	2^{14}	2^{20}	2 ³⁴	34
51 – 63	2^{16}	2^{20}	2^{36}	52

Tabel 5. Initial value dan pesan yang disimpan pada <i>ListA</i>					
No	$h_{1,1}$	$h_{0,1}$	m		
1	0x699f4009	0x699f4009	0x33c9119b		
2	0 <i>x</i> 262 <i>d</i> 7 <i>b</i> 25	0x262d7b25	0x3b211bd1		
3	0x4eae740a	0x4eae740a	0x349458ac		
4	0x267b45ee	0x267b45ee	0x26884699		
5	0x06de551b	0x06de551b	0x091877 <i>d</i> 7		
6	0x7a5a11ee	0x7a5a11ee	0x3b665b8a		
7	0x6be9578d	0x6be9578d	0x7acf7279		
:	:	:	:		
131	0x5aaf1a57	0x5aaf1a57	0x67b55d60		
132	0x6cf4423d	0x6cf4423d	0x68ae0cf7		
133	0x1052500b	0x1052500b	0 <i>x</i> 0 <i>a</i> 161115		

b. Menghitung $h'_{l,1} = f(h_{0,1}, m')$ sebanyak 2^{16} perhitungan

Pada tahap ini dilakukan perhitungan $h'_{l,1} = f(h_{0,1},m')$ dengan melakukan modifikasi sebanyak 2^{16} pada m' dengan nilai $h_{0,1}$ yang tetap. Hasil perhitungan $h'_{l,1} = f(h_{0,1},m')$ yang didapatkan kemudian disimpan pada ListB. Nilai yang disimpan pada ListB ditunjukkan pada Tabel 6.

Berdasarkan hasil eksperimen yang telah dilakukan, hanya terdapat 133 pasang $(h_{0,1}, m)$ yang dapat disimpan pada ListA, sedangkan seharusnya dibutuhkan sebanyak 2^{16} pasang $(h_{0,1}, m)$ yang harus disimpan pada ListA. Dari hasil perbandingan ListA dan ListB yang didapatkan, tidak ditemukan nilai yang sama, sehingga tidak terdapat pesan palsu yang disimpan sebagai $(M' \parallel M)$.

Tabel 6. Initial value dan pesan yang disimpan pada ListB

Tuber 6. Intitut vittue dan pesan yang disimpan pada Etst					
No	$h_{1,1}$	$h'_{0,1}$	m'		
1	0xd293bc66		0x00294823		
2	0xbb7eb68d	_	0x18be6784		
3	0xaa511f5e	_	0x4ae13d6c		
4	0 <i>x</i> 6 <i>c</i> 434 <i>aa</i> 3	0 <i>x</i> 11111111	0x2cd672ae		
5	0 <i>xc</i> 6111630	-	0x69525f90		
6	0xbe877a5e	-	0x16496df1		
7	0xe8a0d27d		0 <i>x</i> 5 <i>af</i> 141 <i>bb</i>		
:	:	:	:		
65534	0xa9829686		0x3a576d20		
65535	0x5dedd52d	0 <i>x</i> 11111111	0x2a5c3f91		
65536	0x638b3382	=	0x702648fa		

4.4 Analisis Serangan Second Preimage Metode

Pada percobaan yang telah dilakukan hanya didapatkan 133 nilai yang disimpan pada ListA, sedangkan menurut Liu et al. untuk mendapatkan setidaknya satu nilai yang sama antara ListA dan ListB maka dibutuhkan sebanyak 2¹⁶ nilai yang disimpan pada ListA. Probabilitas didapatkannya nilai yang sama pada himpunan ListA dan ListB berdasarkan percobaan yang telah dilakukan adalah 0,0020978. Misalkan P merupakan probabilitas ditemukannya nilai yang sama antara nilai pertama pada himpunan ListA dan nilai pertama pada himpunan ListB dan Q adalah probabilitas nilai pertama pada himpunan ListA memiliki nilai yang berbeda dengan nilai pertama pada himpunan ListB. Proses perhitungan mendapatkan probabilitas P dan Qdijabarkan sebagai berikut $P = \frac{1}{2^{32}}$

Probabilitas nilai pertama pada himpunan *ListA* berbeda dengan seluruh nilai pada himpunan *ListB* yaitu $Q = \left(1 - \frac{1}{2^{32}}\right)^{16}$. Dengan pendekatan Taylor

Series
$$(1-x = e^{-x})$$
 menjadi $Q = \left(e^{-\frac{1}{2^{32}}}\right)^{16}$. Nilai Q

juga berlaku untuk nilai kedua, ketiga hingga nilai ke-133 pada himpunan ListA. Probabilitas seluruh nilai pada himpunan T_1 memiliki nilai yang berbeda dengan nilai pada himpunan T_2 yaitu Q = 0.9979022. Probabilitas ditemukannya paling tidak terdapat satu nilai pada himpunan ListA yang memiliki nilai yang sama dengan nilai pada himpunan ListB yaitu P = 1 - Q = 0.0020978.

Misalkan k merupakan jumlah minimal elemen pada himpunan ListA sehingga minimal terdapat dua elemen yang sama antara elemen pada himpunan ListA dan ListB dengan probabilitas $P \ge 1/2$.

Misalkan N merupakan banyaknya kemungkinan nilai output dari fungsi kompresi, maka k yang dibutuhkan adalah

$$P = 1 - Q \ge 1/2$$

$$1 - \left(\left(1 - \frac{1}{2^{32}}\right)^{2^{16}}\right)^k \ge 1/2$$

$$1 - e^{-\frac{2^{16}k}{2^{32}}} \ge 1/2$$

$$-e^{-\frac{k}{2^{16}}} \ge -\frac{1}{2}$$

$$e^{-\frac{k}{2^{16}}} \le \frac{1}{2}$$

$$e^{\frac{k}{2^{16}}} \ge 2$$

$$\frac{k}{2^{16}} \ge \ln 2$$

$$k \ge \ln 2 \times 2^{16}$$

$$k \ge 45427.$$

Jumlah minimal elemen pada ListA, untuk mendapatkan setidaknya satu nilai yang sama antara ListA dengan ListB dengan probabilitas $P \ge 1/2$ adalah 45427. Pada percobaan yang dilakukan tidak didapatkan nilai yang sama antara ListA dengan ListB dikarenakan hanya terdapat 133 nilai yang disimpan pada ListA, sedangkan untuk mendapatkan nilai yang sama antara ListA dan ListB dengan probabilitas $P \ge 1/2$, dibutuhkan setidaknya 45427 nilai yang disimpan pada ListA.

5. KESIMPULAN

Hasil penelitian ini memiliki kesimpulan bahwa Skema modifikasi Lin et al. berbasis *SmallPresent*[8] rentan terhadap serangan second preimage menggunakan metode Jia et al. karena pada setiap sampel pesan yang digunakan, didapatkan pesan palsu dengan kompleksitas waktu 2¹⁸. Strategi serangan second preimage dengan metode Jia et al. tidak dapat diterapkan pada skema Lin et al. Penyebab ditemukannya second preimage adalah penggunaan operasi XOR pada fungsi g.

Selain itu, serangan second preimage dengan metode Liu et al. juga tidak dapat dilakukan pada skema modifikasi Lin et al., dikarenakan pada tahap pencarian pesan fixed point tidak didapatkan hasil yang memenuhi syarat. Nilai yang disimpan pada ListA hanya terdapat 133, sedangkan seharusnya untuk mendapatkan paling tidak satu nilai yang sama antara ListA dengan ListB dengan probabilitas $P \ge 1/2$ dibutuhkan sebanyak 45427 nilai yang seharusnya disimpan pada ListA.

Beberapa hal berikut dapat menjadi penelitian selanjutnya yaitu melakukan serangan second preimage dengan menggunakan metode choosen plaintext attack ataupun choosen message attack pada skema modifikasi Lin et al. dan melakukan serangan second preimage dengan menggunakan metode Jia et al. pada skema fungsi hash lain.

REFERENSI

- [1] A. J. Menezes, P. C. Van Oorschot, and S. A. Vanstone, *Handbook of applied cryptography*. in CRC Press series on discrete mathematics and its applications. Boca Raton: CRC Press, 1997.
- [2] D. R. Stinson, *Cryptography: Theory and Practice, Third Edition.*, 3rd ed. in Discrete Mathematics and Its Applications. Hoboken: CRC Press, 2005.
- [3] K. Jia, X. Wang, Z. Yuan, and G. Xu, "Distinguishing and Second-Preimage Attacks on CBC-Like MACs," in *Cryptology and Network Security*, J. A. Garay, A. Miyaji, and A. Otsuka, Eds., Berlin, Heidelberg: Springer, 2009, pp. 349–361. doi: 10.1007/978-3-642-10433-6_23.
- [4] A. Joux, "Multicollisions in Iterated Hash Functions. Application to Cascaded Constructions," in *Advances in Cryptology CRYPTO 2004*, vol. 3152, M. Franklin, Ed., Berlin, Heidelberg: Springer Berlin Heidelberg, 2004, pp. 306–316. doi: 10.1007/978-3-540-28628-8 19..
- [5] J. Kelsey and B. Schneier, "Second Preimages on n-Bit Hash Functions for Much Less than 2 n Work," in Advances in Cryptology – EUROCRYPT 2005, vol. 3494, R. Cramer, Ed., Berlin, Heidelberg: Springer Berlin Heidelberg, 2005, pp. 474–490. doi: 10.1007/11426639_28.
- [6] B. Liu, Z. Gong, X. Chen, W. Qiu, and D. Zheng, "Cryptanalysis of Lin et al.'s Efficient Block-Cipher-Based Hash Function," in 2010 International Conference on Internet Technology and Applications, Aug. 2010, pp. 1–5. doi: 10.1109/ITAPP.2010.5566639.
- [7] M. N. Salim, "Serangan Collision dan Serangan Fixed Point terhadap Skema Fungsi Hash Modifikasi Lin et al. berbasis Algoritma SMALLPRESENT-[8]," Tugas Akhir tidak diterbitkan, Bogor: Sekolah Tinggi Sandi Negara, 2020.
- [8] A. Bogdanov et al., "PRESENT: An Ultra-Lightweight Block Cipher," in *Cryptographic Hardware and Embedded Systems CHES 2007*, P. Paillier and I. Verbauwhede, Eds., Berlin, Heidelberg: Springer Berlin Heidelberg, 2007, pp. 450–466. doi: 10.1007/978-3-540-74735-2_31. Available: http://link.springer.com/10.1007/978-3-540-74735-2_31.
- [9] G. Leander, "Small Scale Variants Of The Block Cipher PRESENT," *IACR Cryptology ePrint Archive*, vol. 2010, p. 143, Jan. 2010.
- [10] B. A. Forouzan, *Introduction to cryptography* and network security. in McGraw-Hill Forouzan networking series. Boston: McGraw-Hill Higher Education, 2008.